

# KRALJEVINA SRBA, HRVATA I SLOVENACA

UPRAVA ZA ZAŠТИTU

Klasa 57 (1)



INDUSTRISKE SVOJINE

Izdan 1. Februara 1927.

## PATENTNI SPIS BR. 4092

BROCK & WEYMOUTH INCORPORATED, PHILADELPHIA (U. S. A.).

Poboljšanja u metodi za izradu mapa.

Prijava od 5. februara 1925.

Važi od 1. novembra 1925.

Traženo pravo prvenstva od 16. februara 1924. (U. S. A.).

Naš pronalazak odnosi se na metod za pravljenje karata (mapa) sa vazdušnih (aeroplanskih) snimaka.

Dobro je poznato, da se jedna serija snimaka kakvog prostora (teritorije) gde se snimci delimično prekrivaju može spojiti tako, da gradi tzv. mozaik kartu te teritorije.

Snimci, upotrebljeni za tu svrhu, dobiveni su pomoću fotografiskih aparata koji se nose u aeroplanim ili vazdušnim ladašima i čija su sočiva upravljena na niže a žižina površina održava se u koliko je moguće bliže horizontalnom položaju.

Ovakvi mozaici, međutim, nisu karte u tehničkom smislu te reći iz tri glavna razloga, izuzimajući druge, manje važne uzroke.

Tri glavna razloga su: Sto mozaici pokazuju tačke kao da su postavljene koničnom projekcijom od više postupnih centara sočiva kao tačke sa kojih se posmatra, dok je karta ravan snimak u ortografskoj projekciji; što mozaici ne pokazuju nikakve konture elevacije, dok su karte nepotpune, ako ne pokazuju konture linija i što su, usled loga što je nemoguće održati žižinu ravan u pravom horizontalnom položaju, razne tačke snimka neminovno rđavo postavljene na više snimaka.

Pokušaji, da se pomenute teškoće savladaju, činjeni su dosada ali, u koliko nam je poznalo, bez praktičnog uspeha.

Predmet našeg pronalaska je da metod za ponovno projektovanje i iskorишćavanje

vazdušnih fotografiskih snimaka i koji će, na prvom mestu, imati kao rezultat stvaranje jedne serije stereoskopskih parova ploča, koje obuhvataju prostor, koji se ima staviti na kartu. Ovi parovi ploča biće u odnosu na teritoriju, koja se ima staviti na kartu, sasvim blizu horizontalnim projekcijama; a način pomoću koga smo u stanju da pribavimo fakve parove čini glavnu crtu našeg pronalaska. Druga svrha koju imamo u izgledu, je upotreba ponovno projektovanih stereoskopskih parova ploča na stereoskopu naročite konstrukcije i specijalni način da se dobije jasna vidna prestava kontura prestavljene teritorije i naslika kontura linija na jednoj ploči svakoga para. Dalje, cilj nam je iskoristićavanje naših ponovnih projektovanih ploča u svrhu šematisiranja karle sa nje u ortografskoj projekciji, koja će pokazivati tačan položaj istaknutih tačaka, zajedničkih parovima ploča a tako isto i da tačno šematisira na pomenutoj ortografskoj karti konture linija naslikanih na pločama i druge željene detalje prestavljene fotografiski. Zatim još nam je svrha da iskoristimo ponova projektovane ploče pri pravljenju mozaik-karte u koničnoj projekciji, pogodnoj da, pri zajedničkoj upotrebi sa ortografskom kartom prestavi konture kao i pojedinosti, koje se ne mogu lako preneti na ortografsku kartu.

Bitnost i priroda našeg novo pronađenog metoda, pomoću koga izvodimo gore izložene svrhe, shvaliće se najbolje iz opisanih priloženih crteža, gde je:

Sl. 1 je izgled dijagrama, koji pokazuje seriju fotografskih negativa eksponiranih sa aeroplana na takav način, da je isti prostor prestavljen na naizmeničnim snimcima i na suprotnim krajevima pomenutih snimaka a tako isto i tako, da svaki od ovih naizmeničnih snimaka sadrži tačku koja leži u centru drugog snimka.

Sl. 2 je izgled dvaju naizmeničnih negativa i pokazuje na njima istaknute tačke, koje su izabrane i upotrebljene u našem postupku.

Sl. 3 je izgled modela pozitivnog u odnosu na položaj tačke a negativnog u odnosu na boju i koji pravimo sa glavne ploče izabranog para i upotrebljavamo za dobijanje pogodne ponovne projekcije druge ploče para.

Sl. 4 je izgled dijagrama, koji pokazuje kako se model sa sl. 3 eksponira sa glavne ploče.

Sl. 5 je izgled dijagrama stereoskopa, koji se može upotrebiliti kod našeg metoda za posmatranje skretanja ploča izabranog para sa pravih horizontalnih projekcija a koji se tako isto može upotrebiliti i za posmatranje i slikanje kontura linija na ponova projekciranim snimcima našeg stereoskopskog para. Par ploča prestavljen je u pogodnoj pravoj liniji za stereoskopsko ispitivanje.

Sl. 6 je izgled dijagrama, koji pokazuje model načinjen sa glavne ploče jednog para i negativ sa druge ploče i delove mehanizma za kopiranje za korekciju, pomoću koga se model može udesiti u položaj pod uglom tako, da projektovana slika negativa padne na ugao na takav način, da ordinate istaknutih tačaka koincidiraju u razmaku od linije koja vezuje tačke, što pokazuju centar i spregnuti centar na modela sa istim tačkama, prestavljenim na modelu a tako isto i na taj način, da paralakse tačaka poznate elevacije budu tačno prestavljenе na modelu.

Sl. 7 je izgled dijagrama u perspektivi, kako bi ilustrovala dejstvo na položaj tačaka snimka nagnute ravni projekcije u poređenju sa horizontalnom ravni projekcije.

Sl. 8 dijagramske prestavlja tri popravljene ploče spremljene da se sa njih načine procrta šematskog modela.

Sl. 9 je dijagram šematskog modela načinjenog sa ploča prestavljenih na slici 8.

Sl. 10 je dijagram šematske traverse, načinjene pomoću procrta preasljenih na slici 9.

Y—y označava poprečnu osu, koja prolazi kroz centar snimka a y<sup>1</sup>—y<sup>1</sup> je paralelna linija sa poprečnom osom i prolazi kroz spregnutu tačku centra drugog snimka para.

1, 2, 3, 4 itd. pokazuju postupno uzete negative, koji se delimično prekrivaju. C<sup>1</sup>, C<sup>2</sup>, C<sup>3</sup> i t.d. su tačke centra svakog snimka a c<sup>1</sup>, c<sup>2</sup>, c<sup>3</sup>, i t.d. su spregnuti centri kako se ukazuju ili izgledaju na drugim snimcima. X—X je linija koja spaja centar sa spregnutim centrom para odabranih snimaka i odgovara liniji leta i longitudinalnoj osi snimaka. A<sup>1</sup>, A<sup>2</sup>, A<sup>3</sup> i t.d. su istaknute tačke ili objekti koji se pokazuju na izabranim snimcima u poprečnoj osi y—y ili blizu nje i toliko blizu koliko je moguće vrhu i bazi snimaka. B, B<sup>1</sup> i t.d. su druge istaknute tačke ili objekti, koji se pojavljuju na izabranim parovima i obeleženi su u toj svrsi, da bi bili opisani.

Sl. 5 je osnovna ploča jednog stereoskopa, koji ima vodice E<sup>1</sup>, E<sup>1</sup>. F je tabla koja se pokreće po vodiči E<sup>1</sup> i ima longitudinalne vodice F<sup>1</sup>, F<sup>1</sup> za koje je učvršćena tabla G tako, da se može po njima kretati i koja ima longitudinalne vodice G<sup>1</sup>, G<sup>1</sup>. H i H<sup>1</sup> su obrni nosači, od kojih je jedan prestavljen tako, da se kod A može podešavati na vodicama G<sup>1</sup> a drugi je kod H<sup>1</sup> utvrđen radi nošenja ploče G. H<sup>2</sup> je dodirni krak na nosaču H, koji se može podešavati a H<sup>3</sup> je mikrometar sa podelom, pomoću koga je veličina podešavanja tačno izmerena. J i J<sup>1</sup> su obrne table na kojima su utvrđene ploče, koje se imaju ispitivati. J i J<sup>1</sup> su otvori stereoskopa za gledanje i imaju krst od vlakana J<sup>2</sup> i J<sup>3</sup> pod pravim uglom u odnosu jednog na drugi. K—K su sočiva a L, L<sup>1</sup>, L<sup>2</sup> i L<sup>3</sup> čine jedan sistem prizmi za ponovno konstruisanje slika posmatranih kroz otvore za gledanje.

Sl. 6 je osnovna ploča, kopirajućeg mehanizma za korekciju, za koji je učvršćen jedan okvir M<sup>1</sup> koji se kod M<sup>2</sup> obrće i koji nose pravougle stožerne rukavce M<sup>3</sup>, na koje je učvršćen okvir M<sup>4</sup> sa vertikalnim vodicama M<sup>5</sup>. Po vodicama M<sup>5</sup> se može pokretati okvir M<sup>6</sup> učvršćen na njima i koji ima horizontalne vodice M<sup>7</sup>, za koje je učvršćen okvir M<sup>8</sup>, koji se po njima može kretati i koji ima na svom gornjem kraju zupčanicu M<sup>9</sup>. Za okvir M<sup>8</sup> učvršćena je obrtna ploča M<sup>10</sup>. M<sup>11</sup> je krak učvršćen za okvir M<sup>8</sup> i nosi jedan gurajući šraf M<sup>12</sup> pomoću koga se mikrometar M<sup>13</sup> sa podelom stavlja u pokret. M<sup>14</sup> je zupčasti točak pričvršćen za okvir M<sup>8</sup> i nalazi u zupčanicu M<sup>9</sup> a stavlja se u pokret pomoću dugmeta M<sup>15</sup>. N je projektujuće sočivo instrumenta, koji sadrži tako isto i mehanizam za čuvanje i udešavanje negativa naznačenog na slici 6 sa 3; ovaj mehanizam jeobično sličan onome, koji je predstavljen na opisanom delu maštine, sem što nije snabdevan delom za naginjaje negativa. Misli-

mo da je nepotrebno prestatvljati taj mehanizam u detaljima.

O, sl. 4 je sočivo a  $O^1$  prizma za totalnu refleksiju. 1 na ovoj slici prikazuje pozitiv snimka 1 a T je model načinjen sa ovog pozitiva.

P,  $P^1$  i t. d. sl. 3, predstavljaju delove ploče 1 koji su ostali nepokriveni hartijom za obrazac i koji su, prema tome, prestatvljena na modelu T.

Prvi stupanj kod našeg postupka sastoji se u eksponiranju u pogodnom aparatu za vazdušna snimanja, čitave serije negativa, regulišući, najradije, vreme razmaka između ovog i idućih eksponovanja tako, da svaki snimak sadrži tačku, koja će odgovarati centru drugog sledećeg snimka. Sl. 1 predstavlja četiri snimka takve jedne serije i pokazuje, da centar trećeg snimka pada u okvir prvog snimka, centar četvrtog u okvir drugog i t. d.

Na taj način dobija se kontinuirana serija snimaka celom dužinom leta pogodnih za dalje tretiranje.

Dodirni otisci na hartiju i stakleni pozitivi projekcijom su načinjeni sad sa ovih negativa. Stakleni pozitivi, nazvani još prosto pozitivi, ispituju se sad po parovima, stavljući ih jedan uz drugoga na staklenu ploču osvetljenu ozgo da najpre na svakom pozitivu označi pomoću kruga olovkom približni položaj spojene tačke centra druge ploče na svakom paru tako ispitanim a zatim ćemo izabrati najradije čeliri istaknute tačke snimka a koje se lako identificuju i javljaju na oba snimka; one su smeštene koliko je moguće bliže, na linijama y—y i  $y^1$   $y^1$  koje prolaze kroz centar i spregnuti centar svake ploče pod pravim uglovima sa linijom što spaja ove centre, kao što je to pokazano na slici 2. Ove su tačke  $A^1$   $A^2$  i t. d. zatim označene na kopijama od harlige i date parlijama polja u svrhu verificiranja visine tako izabranih tačaka. Određivanje visine ovih izabranih tačaka je jedna važna crta našeg metoda.

Poznavanje relativne visine ovih tačaka zajedno sa osobinom koničnih projekcija istih objekata, uzetih sa različitih tačaka snimka, omogućuje nas da na svaku ploču primenimo proste pokušaje pomoću stereoskopa, slika 5, specijalno označenog da izvrši nekoje stupnje ovog metoda. Ovi pokušaji otkrivaju da li je ili nije pozitiv horizontalna projekcija snimka, koji je na njemu i kad god to nije slučaj, kolika je približna veličina kretanja i u kom se pravcu takva ploča kreće od horizontalne.

Proučavanje sl. 7 gde je jedna ravan  $P$  horizontalna a druga ravan  $P^1$  nešto nagnuta, dobiće se tačan pojam na koji se način tačke, koje definišu sliku pomeraju u-

sled nagiba projekcione ravni. Tačke  $O^1$ ,  $O^2$ ,  $O^3$ ,  $O^4$  i t. d. obrazuju se zracima iz jednog zajedničkog izvora, označenog sa O. Usled toga što ovi zraci potiču iz jednog zajedničkog izvora, oni divergiraju međusobno na putu ka projekcionej ravni. Zbog toga su i tačke  $O^2$  i  $O^4$  obrazovane presekom zrakova u onom delu nagnute ravni  $P^1$  koji stoji iznad horizontalne ravni P, postavljene na većem rastojanju nego što su te tačke postavljene pri preseku zrakova u horizontalnoj ravni P. Sasvim je obrnut slučaj u onom delu nagnute ravni  $P^1$  koji stoji niže od horizontalne ravni P, jer su tu sada tačke  $O^1$   $p^1$  i  $O^3$   $p^1$ , koje stvaraju sliku postavljane na kraćem rastojanju nego kada bi stvorile u horizontalnoj ravni. One tačke koje obrazuju linija Z—Z u horizontalnoj ravni neće trpeti nikakvog pomeranja, jer se faktički nalaze u horizontalnoj ravni.

Sad će se viditi, da kad se paralakse izmerene između tačaka na y—y osama iznad i ispod tačke centra jedne od ploča i onih s njima spregnutih, neminovno smeštene blizu gornjih i donjih ivica i blizu bočne ivice druge ploče, slažu sa paraleksama, sračunastim za te tačke, kasnija od ovih dveju ploča mora biti vrlo približno horizontalna i ako paralaske na drugim tačkama, zajedničke za takav jedan par, odstupaju značno od prave vrednosti. Takve razlike su tada prouzrokovane nagnutom ravni projekcije druge ploče takvog para. Tačke koje leže na liniji y—y ili blizu nje i koje normalno prelaze u liniju leta  $C^1$ — $C^3$  kod tačke C<sup>1</sup> na ploči No. 1, slika 2, ne mogu biti pokrenute nagnjanjem sa te linije, pošto ih nagnutost ove ravni u osi y—y nikako ne premešta a nagnutost oko x—x osi premešta ove tačke samo na više ili na niže duž ose y—y. Njihov položaj u pravcu, paralelnom sa linijom leta, ostaje dakle nepovređen ma kakva nagnutost ravni ploče No. 1 bila u trenutku eksponiranja.

Tačne paralakse ovih tačaka i njihovih spregnutih tačaka su samo tada moguće, kad se spregnute tačke pojave na drugoj ploči u svojim pravim položajima. Kao što je prestatvljeno slikom 7, to je samo moguće, u slučaju tačaka, koje se nalaze u uglovima snimka ili blizu njih, kad je njihova projekcija na horizontalnoj ravni. Na taj način je tako brzo moguće verificirati da li se jedna ili obe ploče jednog para bliže horizontali svoje ravni projekcije.

Sada ćemo objasniti, kako je jedan par ploča pozitiva, koji imaju istaknute tačke verificirane visine, udešen i proučen u stereoskopu u cilju konstanlovanja šta se traži, ako je potrebna povoljna projekcija ploča.

Ploče se nameste na pokretnim pločama tako, da su spregnute tačke centra  $c^1$  i  $c^3$  u unutrašnjosti centra  $C^1$  i  $C^3$  i tako, da su ove čeliri tačke u tačnom nizu jedna prema drugoj.

Transverzalna ploča koja kliza  $G$  pomeri se sad do centra jedne ploče, na primer, No. 3 toliko, da koincidira sa presekom krsta od vlakana na otvoru za gledanje  $J^1$  a pokretna ploča  $I^1$  se tada obrće sve dok se spregnuta tačka snimka  $C^1$  na ploči 3 ne vidi da leži tačno na horizontalnoj liniji vlakna na otvoru  $J^1$ . U slučaju da je razmak  $C^3 - c^1$  i suviše veliki da bi se mogle viditi obe tačke  $C^3$  i  $c^1$  pri istom podešavanju transverzalnog dela koji klizi  $G$ , poslednji će se pomeriti dovoljno kako bi doveo tačku  $c^1$  u polje teleskopa sistema  $E^1$ . Kad je tako udešena ploča 3, na isti način ponoviće se iste operacije sa pločom 1, posle ovoga izvršiće se nezavisno udešavanje dela koji klizi  $G^1$  toliko, koliko je potrebno da se spojena tačka snimka  $C^3$  na ploči 1 dovede do toga da koincidira sa presekom krsta od vlakana na otvoru za gledanje  $J$  pošto se centar  $C^3$  ploče 3 doveo da koincidira sa presekom krsta od vlakana otvora  $J^1$ . Ovo dopunjava udešavanje ploče, kako je prestavljen u obliku dijagrama, na slici 5.

Podela na mikrometru  $H^1$  dovede se na nulu a deo koji klizi  $G$  pomeri se da se  $c^1$  na ploči 3 pokaže u centru otvora za gledanje  $J^1$ . Centar  $C^1$  na ploči No. 1 neće sad koincidirati sa centrom otvora za gledanje  $J$  sem ako su rastojanja  $C^1 - C^3$  i  $C^1 - c^3$  na pločama 3 i 1 slučajno ista.

Ako se sem toga, ploče moraju rastaviti, kako bi se  $C^1$  dovelo u centar dela  $J$ , osnovica kod  $C^1$  biće viša od osnovice kod  $C^3$  a kad ploče moraju doći bliže u isto vreme u cilju dovođenja do simultanog koicidiranja, biće  $C^1$  niže od  $C^3$ . Razlika u rastojanju između dva takva para spregnutih tačaka snimka nazvana je paralaksom tih tačaka i funkcija je osnovne dužine  $C^1 - C^3$ , visine tačke snimka iznad osnovice i razlike u visini tačaka osnovice. Relativna visina tako izabrane tačke centra u odnosu na tačke poznate visine određuje se sad stavljanjem podele mikrometra na nulu, kada, slučaj kod ovog primera, tačka  $C^1$  na ploči 1 i  $c^1$  na ploči No. 3 koincidiraju sa njihovim odgovarajućim krstovima od vlakana. Poprečne ploče koje klize i ploča koja klizi  $G^1$  pokrenu se do tačke poznate visine, bliže visini tačke  $c^1$  a  $C^1$  koincidira sa ovim krstovima od vlakana. Čitanje mikrometra pokazaće tada paralaksu između ove tačke i centra  $C$ . Kad je to pozitivna paralaksa  $C$  biće niže od tačke u pitanju u veličini koja odgovara paralak-

si, i u slučaju da mikrometar pokazuje negativno čitanje, centar  $C^1$  biće viši od tačke poznate visine za količinu koja odgovara razlici paralakse tako nađene. Sad se direktnim merenjem verificira na ploči, čiji je sopstveni centar niži od spregnutog centra, rastojanje između ovih dveju tačaka i na osnovu ovog rastojanja, pročitanog na pretvodno spremljenoj tabeli paralaksa kolika se razlika paralakse mora imati za različite istaknute tačke, čije su elevacije bile izmerene u polju. Transverzalni delovi koji klize  $F$  i  $G$  i deo koji klizi  $G^1$  pokrenu se do najniže od ovih istaknutih tačaka, na pr.  $A^1$  sl. 2, koincidira na svakoj ploči sa vertikalnom linijom krsta od vlakna a mikrometarska podela je u ovom položaju stavljena na nulu. Prepostavimo da je osnovna dužina 2,5 (inča) palca, da je  $C^1$  niža tačka centra i da su visine tačaka  $A^1$ ,  $A^2$ ,  $A^3$  i  $A^4$  odnosno 157, 171, 213 i 165 stopa iznad centralne tačke elevacije  $C^1$ , Tabela paralaksa pokazuje 081", 089", 111", i 085 što treba da budu paralakse, koje odgovaraju ovim elevacijama. Prema tome, ako je podela dovedena na nulu, kad su ploče postavljene tako kako je opisano, tačke  $A^2$ ,  $A^3$ , i  $A^4$  i njihove spregnute tačke, moraju biti odgovarajuće. 008", 030" i 004", što više odvojeno od tačaka  $A^1$ . U ostalom pravila konične projekcije na horizontalne ravni zahtevaju, da rastojanja od sviju spregnutih tačaka izmerena prema linijama, koje spajaju centre snimaka, t. j. linije  $C^1$ ,  $c^3$  i  $C^3$  i  $c^1$  budu iste na svakom snimku, tako, visina  $A^1$  iznad linije  $C^1$ ,  $c^3$  i  $c^1$  treba da bude jednak sa visinom  $A^1$  iznad linije  $C^3$ ,  $c^1$ . Dejstvo transverzalnih delova koji klizi  $F$  i  $G$  doveće ma koju željenu tačku u horizontalnu liniju vlakna kako je spregnuta tačka tada tako isto u horizontalnoj liniji vlakna ordinate takvih tačaka su jednake. U slučaju nejednakosti veličina i pravac razlika zabeleženi su ali ne izmerni. Posmatranje razlika u ordinatama tačaka, udaljenih koliko je moguće od centralne linije  $C^1$ ,  $c^3$  pokazuje relativan položaj ravni u kojima je projekovan svaki snimak a dalje obaveštenje pruža slaganje ili neslaganje paralaksa tačaka  $A^1$ ,  $A^2$ ,  $A^3$  i  $A^4$  kako su odmerene na pločama i kako su određene tabelama. Naš metod se sad izvodi emperičkom korekcijom, zasnovanom na uslovima izloženim preliminarnim ispitivanjima svakog para sad baš objašnjeno.

Rezultati ovog posmatranja stavljaju posmatrača u mogućnost da klasira svaki par u jednu od triju klasa parova, naime: svaka ploča je ravan projekcije sasvim blizu horizontale; jedna ploča je sasvim blizu horizontale a druga nije ili, obe ploče su daleko od horizontale. Dalji stupnji našeg

metoda prilagođeni su da postupaju tačno sa svakom klasom i sastoje se u ponovnom projektovanju negativna ploča, koje su bile nađene kao pogrešne, na modelima ploča koje su nađene kao dobre, kako bi se od njih načinili parovi ploča, koji će pokazivati kroz njihovu zajedničku teritoriju jednake ordinate i tačne paralakse tačaka poznate visine. Takvi parovi moraju biti toliko daleko u koliko se tiče ove teritorije vrlo blizu dvema horizontalnim projekcijama, pošto samo horizontalne projekcije mogu simultano ispuniti ova dva uslova.

Pre pomeranja jednog para ploča sa stereoskopa, pošto je izvršeno prethodno ispitivanje, ovaj se instrumenat upotrebi da smesli i obeleži sa krajnjom preciznošću kod svake ploče para tačno spregnute tačke cenira. Često se događa, da tačka centra jedne ploče u vrhovima drveta, jezeru, reci ili u polju, tako da obično vidno posmatranje nije dovoljno da tačno smešti odgovarajuću tačku snimka u spomenjenoj ploči. U ovom ili drugom primeru stereoskop pruža sredstvo za tačno smeštenje (postavljanje) spregnute tačke. Ovo se vrši prvim verificiranjem pomoću ordinata tačaka blizu linije  $C^1$ ,  $c^3$  i  $c^1$ ,  $C^3$  dali je upravljanje ploča potpuno. Ako je sad  $C^3$  u vrhu drveta, ploča No. 1 se odvoji od ploče No 3 tako, da se stereoskopska slika krsta od vlakana pojavi u dodiru sa centrom vrha drveta u  $c^3$ . U slučaju da je ploča No 1 i suviše blizu ploče 3, krst od vlakana će se pojaviti ispod vrha drveta; kad su ploče i suviše odvojene, krst od vlakana će lebditi u vazduhu iznad vrha drveta i tek kad tačka odstojanja bude bila tačna, doći će krst od vlakana u kontakt s njom. Krst od vlakana u otvoru za gledanje J je sad tačno u upregnutoj tački  $c^3$  i pomoću oštре ivice noža ova se tačka obeleži na ploči No. 1, pošto je pogodan upravljač za ovaj nožić stavljen na ploču tako, da koincidira sa presekom krsta od vlakana pri gledanju samo kroz otvor za gledanje. Krst koji pokazuje znak, upotrebljen da označi umnožavanje, je dakle doveden u tačnu koncentričnost sa krstom načinjenim krstovima od vlakana, koji zauzimaju položaj krsta upotrebljenog da označi zbir. Zatim se deo koji klizi G pomeri da centar  $C^1$  ploče No. 1 koincidira sa presekom svog krsta od vlakana i slična operacija će tada smestiti  $C^1$  na ploči No 3. Ako sad na primer,  $C^1$  treba da leži u reci ili u jezeru, neće biti moguće direktno naći spregnutu tačku sa velikom preciznošću, ako ploče još nisu koregirane. Radi loga se sad pokrenu transverzalni delovi koji klizi G i F do tačke bliske koliko je to moguće  $C^1$  gde se zemlja i voda

dodiruju i prema tome u istoj visini jezera ili reke je centar u krstu od vlakana. Tada se udesi raslojanje između ploča do izabrane tačke i tačke spregnute s njom, svaka koincidira sa svojim odgovarajućim krstom od vlakana a zatim se centar  $C^1$  pova pomeri da koincidira sa svojim krstovima od vlakana operisanjem sa transverzalnim delovima koji klize F i G vodeći računa o tome da se tačno određeno raslojanje ne pokvari. Tada će krst od vlakana u  $J^1$  koincidirati sa  $c^1$  na ploči 3, odmah čim tačka  $C^1$  na ploči No. 1 dođe u presek krsta od vlakana J. Ovaj stupanj u našem metodu je od velikog značaja za uspeh sledećih stupnjeva zahtevanih kako za korekciju tako i za sledeće šematiziranje koregiranih ploča radi konstruisanja fotografске traverze, koja služi kao građa za kartu u ortografskoj projekciji što je poslednji rezultat našeg metoda. Dosadašnja nemogućnost da se tačno prenesu spregnuti centri običnim očnim posmatranjem dovodi nas do upotrebe zamene centra, koji su tačke u blizini centra i dovoljno određene da dozvole smeštanje njihovih spregnutih tačaka. Izvesne greške su na taj način unesene u šematiziranje prodrle i rezultat su pogrešnog orijentisanja šematiziranih talasa. Stereoskopski smeštanje pravih spregnutih centara dakle je jedno važno poboljšanje, koje ispunjava naš metod.

Ploče koje pripadaju prvoj od tri gore pomenute klase, poznaju se prema činjenicama što pokazuju u toku preliminarnog ispitivanja, tačne paralakse za tačke poznate visine i jednakе ordinate za sve spregnute tačke snimka. One se mogu upotrebiliti kod naknadnih stupnjeva ovog postupka bez potrebe ponovnog projektovanja.

Od parova klasiranih u klasi dva, za koju je u praksi nađeno, da je najčešći slučaj, ona ploča, koja se pri ispitivanju pokaže kao praktički horizontalna, upotrebile se za određivanje ravni u kojoj će negativ sa druge ploče ovog para morati biti ponova projektovan tako, da dâ sliku, koja će imati jednakе ordinate i tačne paralakse kroz prostor zajednički za obe ploče.

Pretpostavimo, da su ploče 1 i 3 u posmatranju i da je nađeno da paralakse tačaka smeštenih u osama y—y ili blizu njih i udaljenijih od linija C— $C^1$  koliko je to moguće i da su, prema tome njihove spregnute tačke u blizini leve ivice ploče No. 3, ne odgovaraju izračunatim paralaksama već da se tačke nalaze u osi y—y ploče No. 3 ili blizu nje i da su njihove spregnute tačke blizu desne ivice ploče No. 1, može se tada zaključiti, da je ploča No. 1 vrlo bli-

zu ako ne i tačno horizontalna i da je ploča No. 3 nagnuta.

Do ovog zaključka došlo se iz činjenica što nagnutost ploče No. 3 oko ose  $y-y$ , sa dodatim nagibom oko ose  $x-x$  ili bez njega nije prenestila tačke izvan ose  $y-y$ . Ako je na taj način paralaksa ovakvih tačaka tačna, to znači da su spregnute tačke blizu ivice ploče No. 1 na svom pravom mestu a to je samo onda moguće, kad je ploča No. 1 horizontalna. Netačne paralakse, nađene za tačke blizu ivice ploče No. 3 rezultat su netačnog smeštaja tih tačaka prouzrokovanim nagibom ploča No. 3. Našim novim metodom korekcija takvih ploča vrši se na sledeći način.

Jedan tabak prozračne hartije na koju svetlost ne utiče, stavi se na ploču, koja se najvećma bliži horizontali, pa se zatim centar ove ploče, spregnuti centar sparene ploče istaknute tačke poznate visine, i ostale takve tačke, koje mogu biti od korisli kod poređenja ordinate, sve obeleže na toj hartiji, koja se zatim u tim tačkama perforira. Ovaj se model zatim utvrdi za staklenu stranu ploče tako, da su mesta oko obeleženih tačaka otkrivena perforacijom.

Tako spremljena, umetne se ova ploča u kopirajući mehanizam za model, sl. 4, koji je kopirajući mehanizam za projekciju sa prizmom  $O^1$  za totalnu refleksiju sa uglom od  $45^\circ$  prema sočivu  $O$  i sa prednjim i zadnjim žižinim odstojanjem udešenim, da dadu reprodukcije tačno iste veličine. Žižina ravan, koja prima staklenu ploču  $T$ , koju treba eksponirati prema pozitivu 1 zasićenom obrascem, podešena je tako, da fizički centar ove staklene ploče primi sliku spregnutog centra obrasca koji nosi glavnu ploču. Razvijanjem takve eksponirane ploče načinjen je bio fotografski model negativan po boji ali pozitivan u koliko se tiče relativnog položaja tačke.

Sledeći stupanj sastoji se u stavljanju negativa ploče 3, n. pr., koji mora biti koregoran kopirajućim mehanizmom za projektovanje, sl. 6, udešavajući ga tako, da njegov centar koincidira sa optičkom osom sočiva  $N$  i dovodeći spregnuti centar  $c^1$  glavne ploče u liniju, koja odgovara osi obrtanja  $M^3$  okvira  $M^4$ , kako je sve dijame-tralski prestavljen na slici 6, gde 3 predstavlja negativ a T model, dobiven na opisani način.

Kopirajući mehanizam za korekciju snabdeven je potrebnim sredstvom, koje nije prestavljeno za obrtanje i klijenje negativa do svog pravog mesta a model T je pričvršćen u okviru  $M^1$ , podešenom tako, da vari-rujući podržava osnovni stakleni zaklon koji nije prestavljen. Ovaj osnovni stakleni zaklon

snabdeven je horizontalno i vertikalno znacima po centralnoj liniji  $x^2$ ,  $x^2$  i  $y^2$ ,  $y^2$  a položaji nagiba jednaki nuli, mehanizam za obrtanje i klijenje predviđeni za ovaj osnovni stakleni zaklon regulisani su tako, da presek ovih dveju linija koincidira sa osom sočiva i da horizontalna i vertikalna linija odgovarajući koincidiraju sa horizontalnim i vertikalnim osama obrtanja  $M^3$  i  $M^2$  ovoga zaklona. Iz toga izlazi, da obrtanje u jednoj ili obema osama neće prouzrokovati — nikakvo premeštenje tačke preseka dveju osa, koja će tada uvek biti u osi sočiva sem ako sklizi sa svog položaja rav ног nuli duž jedne od ovih osa.

Linija leta  $C^3$ ,  $c^1$  negativa podešena je tako, da koincidira sa linijom  $x-x$  na zaklonu a tačka  $C^3$  podešena je tako, da se samo projektuje u preseku osa  $x-x$  i  $y-y$  osnovnog staklenog zaklona dovedenog u položaj ravan nuli. Tada se osnovni stakleni zaklon pokrene a predhodno spremlijen model dovede na njegovo mesto. Ako je potrebno, model se okreće oko ose sočiva kako bi tačke  $c^3$  i  $C^1$  snimka, koje se na njemu nalaze koincidirale sa  $x-x$  osom instrumenta. Dejstvo paralakse završnja  $M^{15}$  prouzrokujuće da tačke centra, kako su snimljene na modelu, sklize kroz spregnute tačke projektovane na njemu negativom i na taj način biće osigurano tačno koincidiranje linije leta modela i negativa. Pošto su paralakse odmerene u pravcima paralelnim liniji leta pomeranje modela T duž ose  $x-x$  složice se sa različitim paralaksama pročitanim pomoću mikrometra  $M^{13}$ , slika 6.

Dijagram pokazuje model nagnut tako, da su ordinate snimljenih i projektovanih tačaka snimka, kako je pokazano u  $A^1$ ,  $A^2$ ,  $A^3$  i  $A^4$ , izjednačene. Projektovana tačka  $A^1$  koincidira sa snimljenom tačkom  $A^1$  modela a tačke  $A^2$ ,  $A^3$  i  $A^4$  snimka označavaju tačku razliku u paralaksi kad se postepeno dovod dejstvom paralakse dugmeta  $M^{13}$  do koincidiranja. Ovaj položaj ravnii T nađen je emperičko podešavanje koje operatoru daju rezultati predhodnog ispitivanja. Pošto je tačna ravan projekcije nađena model se pomeri i osetljiva ploča međe na svoje mesto. Rezultujući pozitiv će tada graditi sa pozitivom sa koga je načinjen model, jedan stereoskopski par, za sve name-re i svrhe u horizontalnoj projekciji kroz teritoriju zajednički prestavljenu na takvom paru.

Parovi koji pripadaju trećoj klasi su najvećma sastavljeni od ploča, koje imaju približno jednak veličinu nagiba u osi  $x-x$  ali malu ili nikavu oko ose  $y-y$ . Takvi parovi se poznaju po tome, što imaju ordinate skoro jednake ali znatne greške u paralaksama; ove greške okarakterisane

su time što se znak greške iznad i ispod linije lēta obrne, drugim rečima, kad su paralakse iznad linije i suviše male, paralakse ispod linije su i suviše velike ili obratno. Strana ploče, na kojoj su paralakse i suviše male jeste ona strana, koja pri ponovnoj projekciji, treba da se nagnе prema sočivu, kad je model načinjen sa leve ploče datog para i u obrnutom pravcu kad je model načinjen sa desne ploče para. To će dovesti krajnje tačke bliže centru ploče i sledstvenome dalje od centra ploče. Ako su ordinate tačne, svaka ploča takvog para treba da bude ponovno projektovana pod istim uglom nagiba oko x—x ose a veličina eksperimentom uđešena da se slaže sa veličinom grešaka paralakse koje se imaju savladati. Dve tako ponova projektovane ploče se tada ponova ispitaju i ako se nađe, da još nešto nedostaje, ma kako potrebna izgledala takva dalja korekcija na ovim ponova projektovanim pločama, vršiće se na tačno isti način, kako je opisan ili uobičajen kod ploča klase dva. Postupajući na taj način, dobija se čitava serija horizontalnih ekvivalenta za sve parove, potrebne za skiciranje celokupne teritorije.

Dvoguba upotreba tako korigiranih ploča učinjena je sad u daljem izvođenju našeg novog metoda; najpre da se dobiju konture linija i drugo, da se promeni konična projekcija ovih ploča u odgovarajuću orlografsku projekciju šemalizirane traverze.

U tom cilju postupno koregirani parovi ploča stave se u stereoskop brižljivo, kako je opisano i nekoja tačka poznate visine na svakoj ploči doveđe se da koïncidira sa svojim krstom od vlakana u olvoru za gledanje. Birajući tako koregirane parove 1 i 3, mogu se tačke A<sup>1</sup> tako plasirati. Tu je visina, kako je verificirano, 157 stopa i 160 stopa kontura linije mora na taj način biti 3 stopa viša od tačaka A<sup>1</sup>, koje se javljaju u stereoskopskoj kombinaciji. Pošto je osnovna dužina 2,5 palca tabela paralaksa pokazuje, da je povećanje od 3 stope srazmerno sa paralaksom od 0015". Ako se tada podela mikrometru H<sup>3</sup> najpre stavi na nulu, i nezavisno bočni deo koji klizi H pokrene da se na mikrometru čita. 0015 stereoskopski položaj krsta od vlakana dodirujući fotografiski snimak u svim tačkama visine od 160 stopa i izgledaće kao da lebdi u vazduhu iznad sviju nižih tačaka i kao da se krije ispod sviju viših tačaka. Ne remeteći raslojanje između ploča, delova koji klize F i G se sad pokrenu da dovedu različite delove snimka u polje vida. Nekoje tačke previdno u dodiru između krsta od vlakana i snimka, obeleže se plavim plavjavom a linija, koja prolazi kroz sve tačke jednakе visine

nacrta je na jednoj ploči pomoću slivarnog stereoskopskog pregleda snimka; vrlo često, ali to ne mora bili, konture su nacrtane na desnoj ploči svakog para. Pošto je kontura linije na nekoj visini dopunjena promeni se odslojanje ploče kako bi se saobrazilo paralaksi iduće više ili iduće niže konture linije i posao se ponavlja, kako je opisano, dok se sve željene konture ne nacrtaju. Za iskusnog operatora je stereoskopski rezultat snimka tako neizbežan, da on ne usležući se, prati datu konturu bez greške dužinom celog rjenog toka u zajedničkoj teritoriji za par u posmatranju. Oblik konture ima neminovno daleko veću preciznost nego kontura postignuta običnim radom na ravnoj tabli, pomoću koga su na taj način dalje konture u opšte određene. Konture se nacrtaju tako kako su zapožene pomoću fino zašiljenog plavog plavjaza, što dozvoljava da se slučajne greške mogu potpuno izbrisati. Kad su sve konture nacrtane na satisfakciju posmatrača, pokrenu se ploče sa stereoskopa i konture linija se urežu u emulziji ploče iglom sa finim vrhom. Plave linije izbrišu pomoću pamuka a urezane konture se jasno raspoznaјu svuda po svetlim i tamnim mestima snimka. Ploča numera 3 para 1 i 3 pokazaće na taj način, sve željene konture u delu snimka, koji se nalazi između C<sup>1</sup> i C<sup>3</sup> a ploča 5 para 3 i 5 sadržavaće konture, kako se one javljaju u sekciji između C<sup>3</sup> i C<sup>5</sup> svaki nov par na taj način konturu linija za iduću dodatu sekciju.

Koregirane ili prvobitno tačne ploče su takođe upotrebljene za dobijanje šemaliziranih modela prethodno pomenutih a koji će sada biti potpuniјe objašnjeni.

Tačke poznate visine A<sup>1</sup>, A<sup>2</sup> i t.d. ili druge tačke kao B<sup>1</sup> B<sup>2</sup> i t.d. čije se spregnute tačke mogu jasno identifikovati na prošlim i sledećim pločama obeleži se brižljivo šiljalim vrhom čiode i okruže malim kružićima urezanim oko njih. Slika 8 prestavlja diagramske kako je takva serija tačaka bila izabrana između popravljenih (koregiranih) serija 1—3—5 i t.d. Prepostavljamo dalje, da je slična vrednost raslojanja na zemlji, koje odvaja tačke snimka A<sup>1</sup> i A<sup>2</sup>, slika 8 bila izmerana tako, da je podela ove ploče time određena i da se može upotrebiliti kao podela šemalizirane traverze.

Tačke izabrane za šemaliziranje se najradije smeštaju iznad i ispod centra i spregnutih centara različitih ploča, i toliko blizu ivicama, koliko se takve tačke mogu naći. Kad su identifikovane na spojenim pločama, obeleže se vanredno finim vrhom čiode u emulziji i ureže se mali kružić oko, kako bi se brzo našlo kroz tabak

dobro poravnjene providne harlige slavljene na ploču. Na primer, na ploči 1 tačke  $A^1$  i  $A^2$  su direktno iznad i ispod tačke centra  $C^1$ , dok su tačke  $A^3$  i  $A^4$  na ploči 1 spregnute sa tačkama  $A^3$  i  $A^4$  iznad i ispod tačke centra  $C^3$  ploče 3 i t. d. Procrli su oboježeni brojem ploče, sa koje su načinjeni. Svaki sadrži tačku centra, koja obeležava njegovo mesto i linije koje prolaze kroz svaku od ovih tačaka, koje se imaju šemalizirati i centar. Ni jedna od ovih tačaka sama nije obeležena sem centra i na procrtu 1, pravi položaj tačaka  $A^1$  i  $A^2$  je veoma tačno ocrtan. Pošto su na taj način spremljeni procrli svih upotrebljenih ploča, prvi procrli se stavi na tabak crtaće harlige, tačke  $A^1$  i  $A^2$  se brižljivo prenesu finim u bodom čiode i, pazeći na to, da se procrte ne pomeri, obeleže se pravci  $A^1-A^3$  i  $A^1-A^4$  blizu krajeva odgovarajućih linija u bodom malih znakova u crtaču hartiju. Oko ovih tačaka načinjen je krug plavazom a premeštanjem šemaliziranog procrta obeležene su na hartiji tačke  $C^1$ ,  $A^1$  i  $A^2$  kao i pravci  $C^1-A^3$  i  $C^1-A^4$ . Procrli sa ploče 3 se sad položi na crtež a linija  $C^3$ ,  $c^1$  odatle se brižljivo udesi u pravcu  $C^1$ ,  $c^3$ , što je sad prestavljeno na crtežu. Procrli No. 3 se sad pokrene u liniju ili duž nje toliko koliko je potrebno da pravci  $C^3-A^1$  i  $C^3-A^2$  prođu kroz tačke  $A^1$  i  $A^2$  već postavljena na šemi. Kad dođu u ovaj položaj, tačke se zabodu kroz kraj drugih pravaca pokazanih na procrtu 3, t.j.  $C^3-A^3$   $C^3-A^4$   $C^3-C^5$  i  $C^3-A^5$  i  $C^3-A^6$  i kroz centar  $C^3$  ovog procrta. Poslednja tačka, naravno, biće smeštena u liniji  $C^1-C^3$  već nacranoj i pošto su sad pravci  $C^3-A^3$  i  $C^3-C^4$  nacrlni, nagradiće se preseci sa predhodno nacrlnim pravcima  $C^1-A^3$  i  $C^1-A^4$ ; ovi preseci slavljaju u ortografsku projekciju, u podeli prestavljenoj rastojanjem između tačaka  $A^1$  i  $A^2$  tačno smeštanje fotografiskih tačaka  $A^3$  i  $A^4$  i  $C^3$  ploča 1 i 3. Tako isto rastojanje između tačaka  $C^1$  i  $C^3$ , nađeno na taj način, jest fotografска osnovna dužina ploče 1 ili ploče 3, koja zavisi od toga, da li se tačka  $C^1$  i  $C^3$  nalazi na manjoj visini i tačno odgovarajućoj podeli ploče, čija se tačka centra na većoj visini može sad odrediti dodavanjem paralakse, koja odgovara razlici u visini između tačaka  $C^1$  i  $C^3$ , rastojanju  $C^1-C^3$  crteža. Na taj način može se positići tačna podela izjednačavanja snimaka i postaje korisna uvek kad treba izraditi mozaik-kartu sa što je moguće većom tačnošću. Kad je šemaliziranje izvršeno pomoću određivanja položaja ugla tačaka različne graduacije ako ih ima u fotografskim pločama upotrebljenim apsolutno su nemalerijalne, jer se uglovi ne menjaju varijacijom graduacije.

Produženje ovog metoda šemaliziranja daće na taj način jednu fotografiski pokazu traversu u meso traversa načinjenih mnogo na taj način, pomoću različitih poljskih instrumenata, koje upotrebljavaju posmatrači.

Pošto je traversa završena, procrli su preneseni na platno u dovoljno malim sekcijsima, kako bi se njima moglo brzo manipulisati na crtačoj tabli. Ploče sa konturama polože se sad ispod ovih procrta na sekcijske, orijentiraju tačno pomoću njihovih centara i šemaliziranih tačaka, i one crte, koje se žele kopirati, prekopiraju se sad obuhvaljujući konturu linija. Gde god su tačke znatnim razlikama u visinama na tako precrtnim pločama njihova fotografiska odstojanja od centra mogu se razlikovali toliko od šemaliziranog položaja takvih tačaka, da će postati potrebno da se ove ploče reprodukuju na graduacije koja će biti jednakaa sa šemaliziranim fotografiskim odstojanjem između ovih tačaka. Ovaj se lada ponova projektuje kako bi dao negativ tražene veličine a ovaj negativ reprodukcijom u jednakoj veličini, daće nov pozitiv pogodan za procrt. Putevi, željezničke pruge, reke, konstrukcije, kanali i sve tačke koje se na finalnoj karti traže, obeležene su sad sa procrlima izdeljenim u sekcijskim. Kad se tako postupilo sa celom površinom, koja se ima staviti na kartu, sekcijske procrte se ponova orijentiraju na šemalizirani crtež i procrli finalne karte se sad dobija, stavljajući ispod njega više procrta na sekcijske i to tako, da je svaki orijentiran na šemalizirani crtež. Na taj način dobijaju se topografske karte, našim novim metodom sa vazdušnih fotografija eksponiranih u nestabilnim fotografiskim aparatima.

Metod za prelvaranje koničnih projekcija više snimaka u ekvivalentne ortografske projekcije, bio je delimično izložen u jednom članku sa naslovom: Cirkular informacije za vazdušnu službu, koji je objavljao šef za vazdušnu službu, Washington, D. C. Sv. 2, Mart 10. 1921, strana 20 i 21. Preciznost rezultata dobivenih na taj način, zavisi potpuno od horizontalnosti koničnih projekcija i od preciznosti sa kojom mogu biti smešteni pravi centri i spregnuti centri postupnih snimaka. Kako je objašnjeno u članku gore navedonom činjena je česta upotreba od zamjenjivanja centra zahvaljujući teškoći da se dà precizan položaj pravim centrima a upotreba koregiranih snimaka prema ekvivalentima horizontalne projekcije nije ni pomenula jer se imalo veće u horizontalnosti snimaka, o kojima govori pomenuli članak, a za koju se prepoštavljalo da je dovoljna ali koja je bila polpuno nekontrolisana.

Metodi, podešeni za smeštanje sviju spregnutih centara, shodno ovom pronalašku, i kontrolisanje horizontalnosti koregranih snimaka, dobivenih verificiranjem pomoću slijavnog merenja u polju, visine pojedinih visokih tačaka, koje se javljaju u čitavoj seriji snimaka, upotrebljenih u saglasnosti sa metodama datim gore, pružaju na taj način željeno unapređenje (usavršavanje) pri građenju karata sa vazdušnih fotografija, ako se uporede sa najboljim metodama poznatim do danas.

### Patentni zahtevi:

1. Način za dobijanje topografskih karata, kod koga su serije fotografiskih negativi uzele sa kakve pokretnе vazdušne mašine na taj način, da idući negativi pokazuju delimično istu teritoriju, naznačen privavljanjem parova fotografiskih ploča koje se mogu upotrebiliti kao stereoskopski parovi birajući od pomenute serije snimaka jednu seriju parova, koji će delimično pokazivati istu teritoriju i od kojih svaka sadrži jednu tačku koja se nalazi u centru drugog izabranog snimka, verificirajući visinu istaknutih tačaka prestavljenih na oba snimka takvih parova, mereći rastojanja izabranih istaknutih tačaka od linije, koja vezuje tačku centra svakog snimka sa spregnutom tačkom centra drugog snimka para i mereći paralakse tačaka poznate visine kako se javljaju na pomenutim snimcima kako bi se približno verificirao ugao u pravcu nagiba pomenutih snimaka u odnosu na horizontalnu žižinu ravan i u odnosu na svaku drugu; ponovnim projektovanjem pomenutih snimaka na nagnutim ravnima kako bi se korigirala verificirana skretanja i nagradio jedan stereoskopski par pozitivnih ploča, koji imaju ordinate i paralakse srazmerne sa horizontalnim projekcijama u tački snimka svake ploče takvog para.

2. Način shodno zahtevu 1 naznačen biranjem od svakog para ploča onog, koji je najpribližniji karakteru snimka snimljenog pomoću fotografiskog aparata sa horizontalnom žižinom ravnji, gradeći sa negativima takve izabrane ploče pozitivnu reprodukciju, udešenu pod uglom, ako je potrebno da se pozitivna reprodukcija više približi horizontalnoj projekciji.

3. Način shodno zahtevu 2, naznačen pripremanjem sa jedne od izabranih ploča jednog para fotografiskog modela, koji je negativan po boji i pozitivan po relativnim položajima svojih tačaka snimka, zatim se negativ sa druge ploče pomenutog para projektuje na pomenuti model i ravan se odalle podešava, dok se tačke snimka za-

jedničke za pomenuti model i negativ ne pojave na svakom u istom odstojanju od linije, koja spaja spregnute centre u svakom i dok se tačke snimka, zajedničke za oba i tačne razlike predodređene paralaksse ne pojave u pomenutim razlikama; tada se pomenuti model ukloni i izloži se jedna staklena ploča u ravni, u kojoj je pomenuti model bio udešen, da odalle dā pozitiv, kako bi se nagradio stereoskopski par sa pozitivom sa koga je načinjen pomenuti model.

4. Način shodno zahtevu 1 ili 2, naznačen preliminarnim stereoskopskim ispitivanjem izabranih parova ploča, kako bi se utvrdilo, da li je jedna od ploča jednog para dovoljno blizu horizontalnoj projekciji, da bi mogla služiti kao glavna ploča, ako se nađe, da to nije slučaj, negativi obeju ploču takvog para ponovo se projektuju, na ravnima, koje su nagnute u saglasnosti sa uslovima dobivenim prethodnim stereoskopskim ispitivanjem, sve dok ponovno ispitivanje ne pokaže najzad, da je jedna od ponova projektovanih ploča dovoljno bliska horizontalnoj projekciji, da bi mogla služiti kao glavna ploča za kasnije ponovno projektovanje negativa druge ploče.

5. Način shodno zahtevima 3 i 4, naznačen pripremanjem fotografiskog modela prvim utvrđivanjem pozadi glavnog pozitiva jednog modela, koji je perforiran oko izabranih istaknutih tačaka, koje obuhvataju centar glavne ploče, i spregnuli centar na njoj, ploče koja se ima korigovati prema ovoj, tako isto i tačke poznatih razlika paralakse, zatim se pozitiv, koji nosi model reprodukuje pomoću reflektujuće površine kako bi se na taj način nagradio model negativan po boji i pozitivan po relativnom položaju tačke; glavna ploča i model-ploča podnese se u odnosu jedna na drugu tako, da spregnuti centar na glavnoj ploči, koincidira sa mehaničkim centrom model-ploče.

6. Način, shodno jednom od prethodnih zahteva, naznačen time, što se prethodno, radi ponovnog projektovanja jedne ili obe ploče jednog izabranog para obe ploče takvog jednog para podvrgnu ispitivanju u stereoskopu za merenje sa krstovima od vlakana u svakom delu za gledanje, kako bi se približno utvrdilo poređenjem ordinata spregnutih tačaka na pomenutim pločama i poređenjem razlika paralakse tačaka poznate visine sa izračunatim razlikama paralakse takvih tačaka i ako bi bilo razlike, zahteva se ponovna projekcija negativa takvih ploča u nagnutim ravnima reprodukcije, kako bi se dobio par pozitiva sa ordinatama i paralaksama srazmernim sa horizontalnim projekcijama.

7. Način shodno jednom od prethodnih zahteva, naznačen upotrebom koregiranih parova izabranih ploča, stavljući ih u pogodan stereoskop za merenje, podešenim tako, da prava linija, koja prolazi kroz odgovarajuće centre i spregnute centre takvih ploča bude paralelna sa linijom, koja spaja centre delova za gledanje na stereoskopu; odgovarajući centri ploče nalaze se izvan odgovarajućih spregnutih centara; zatim se podesi rastojanje između pomenućih ploča, dok se tačka snimka, stereoskopski posmatranog, ne dovede da koincidira u prostoru sa tačkom u prostoru previdno dobivenim stereoskopskim likom objekata, postavljenih u žižinoj ravni delova za gledanje na stereoskopu: zatim se na jednoj od ploča obeleži kontura linije, kaja izgleda da vezuje sve stereoskopske tačke snimka, na istoj očevidnoj visini; potom se promeni razmak između ploča za napred određenu veličinu, koja odgovara razlici visine, između suksesivnih kontura linija, pa se onda obeleži linija, koja spaja serije tačaka snimka, a koje sad izgleda da koincidentiraju sa izmenjenom očevidnom visinom stereoskopskog snimka predmeta u žižinoj ravni delova za gledanje a zatim se ovi stupnji ponavljaju sve dok sve željene konture ne budu na taj način obeležene na jednoj od ploča ovakvog para.

8. Metod shodno jednom od prethodnih zahteva, naznačen time, što su spregnute tačke centra na stereoskopskim parovima ploča tačno postavljene smeštanjem jednog para ploča u pogodan stereoskop sa krstom od vlakana u svakom delu za gledanje; stereoskopski lik preseka krsla od vlakana dovede se u prividan kontakt sa stereoskopskim likom centra jedne ploče a dekvalnim regulisanjem razmaka između dveju ploča; na taj način dovede se krs od vlakana dela za gledanje druge ploče da koincidentira sa spregnutim centrom prve ploče, kako je nađen na drugoj ploči a zatim se pomenuća koincidentirajuća tačka obeleži na drugoj ploči.

9. Metod shodno jednom od prethodnih zahteva naznačen šemaliziranjem fotografiske traverse u ortografskoj projekciji u kojoj su šemalizirani procti načinjeni sa korigiranim ploča sa njihovim brižljivo smeštenim spregnutim centrima, sa linijama koje prolaze kroz tačke koje se imaju še-

matizirati i kroz centar svake ploče u kojoj se javljuju pomenute tačke i linije, što spajaju centar i spregnuti cenatar svake ploče; na jednom od pomenućih šemaliziranih procti obeleži se stvarni položaj dveju tačaka, prema kojima je pravac bio obeležen; zatim se na šemaliziranom crtežu prenesu svi pravci, koji se nalaze na prvom proctu a stvarni položaj dveju izabranih tačaka, upravljajući drugi šemalizirani proct tako da linija, koja spaja njegov centar sa spregnutim centrom prvog procta, koincidentira sa obrnutim pravcem ove linije, kako je preasljeno na pomenutoj šemaliziranoj crtežu. Pomenuti drugi proct klizi duž pomenute linije sve dok pravac od centra pomenućog procta do tačaka smeštenih na šemaliziranom crtežu ne prođe kroz ove tačke; kad su tako smešteni, obeleži se položaj centra drugog procta i pošto su pravci do sviju tačaka tu obeleženi, nagrade se na taj način tačke preseka sa pravcima već prenesenim sa prvog procta, da se na taj način smeste tačke, odredene ovim dvama pravcima; zatim se slično uprave treći i sledeći procti, regulišući u svako vreme razmak centra tako, da pravci do tačaka smeštenih prethodnim presecima prolaze kroz ove tačke.

10. Metod za pripravljanje fotografiske traverse u ortografskoj projekciji, shodno zahtevu 9 naznačen sastavljanjen mozaik-karte, pogodne za upotrebu u vezi sa ortografskim projektovanim kartama tako spremnjim i sastojeći se u reprodukovaju negativu sa prethodno koregiranim ploča u graduaciji postaloj sa ortografskog šemaliziranog crteža regulisanim razmaka između centra i spregnutog centra tako reprodukovanih negativa da bude ravno odgovarajućem razmaku između ovih tačaka kako je šemalizirano, kad je tačka centra takvog negativa u nižoj elevaciji osnovice nego spregnuta tačka centra i regulisanim pomenućem razmaku centra, da bude jednak razmaku šemaliziranog centra povećanom paralaksom, koja odgovara razlici u elevacijama zemljišta između centra i spregnutog centra, kad god je lakav centar u većoj elevaciji zemljišta nego tako spregnuti centar; zatim se pripremi fotografiski olisak sa negativima tako graduišan i pomenući otisci se kombinuju u mozaik-kartu, kako je gore izloženo.

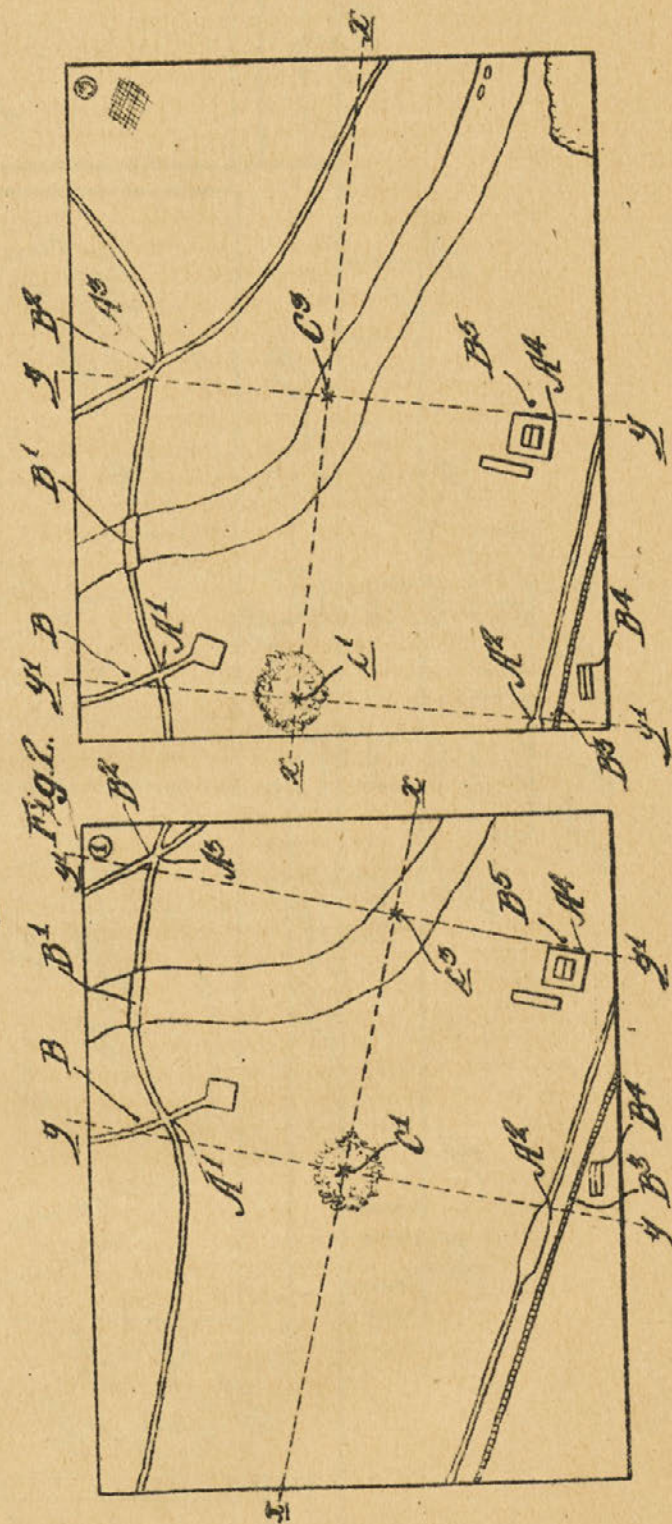
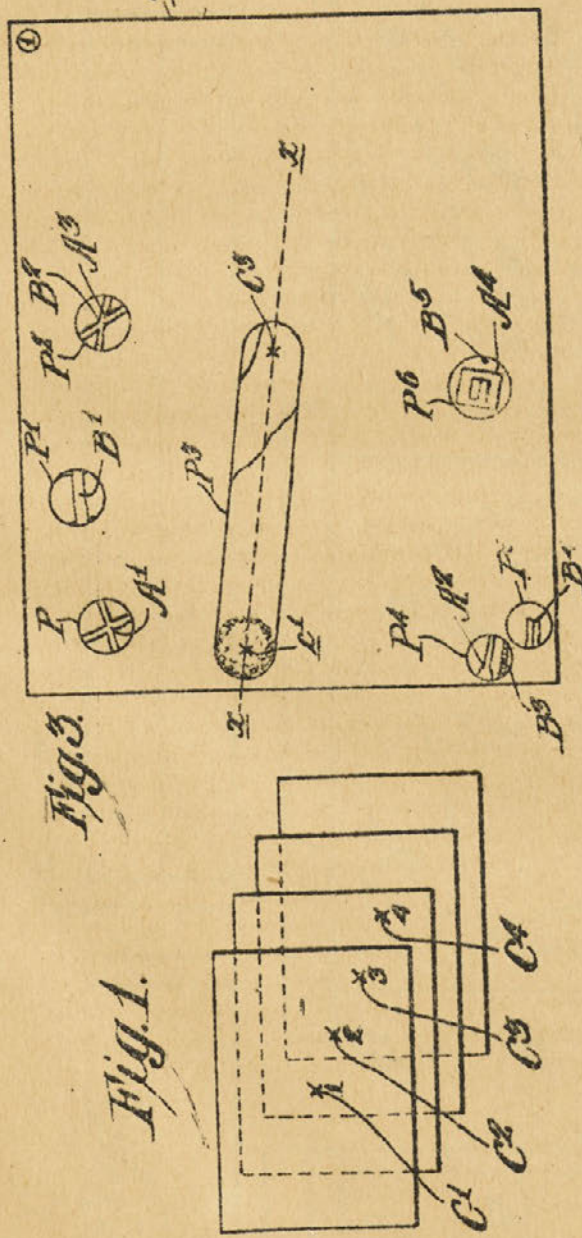
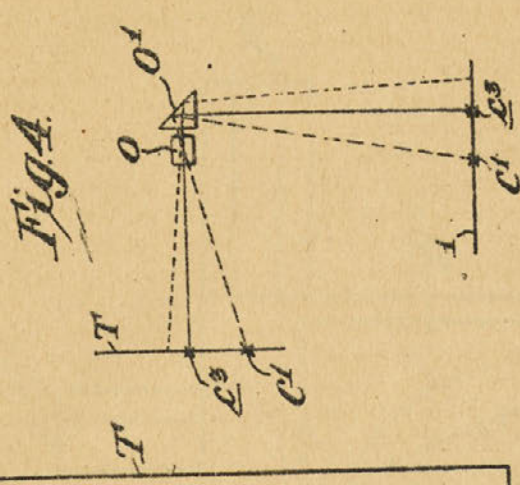
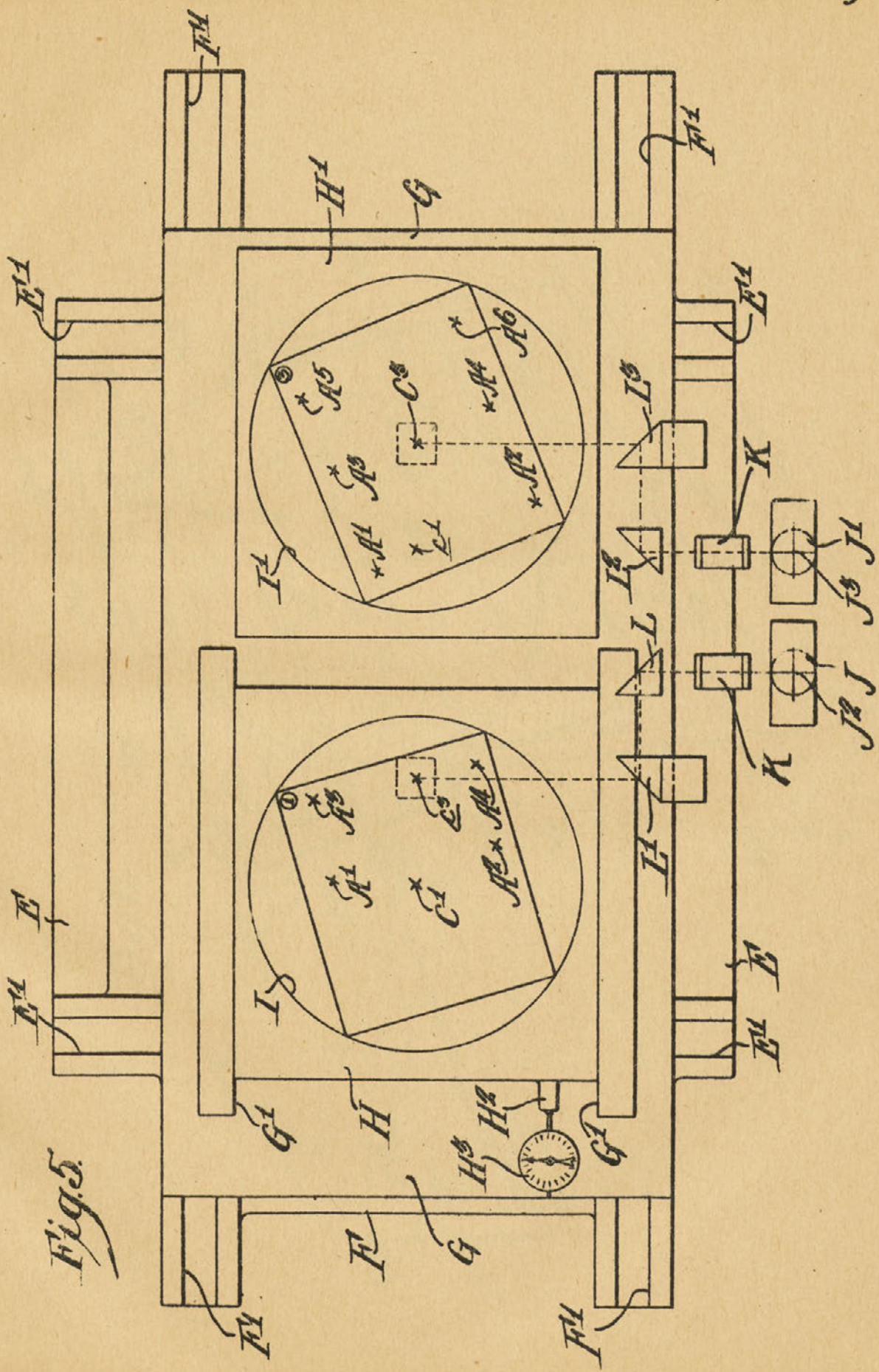
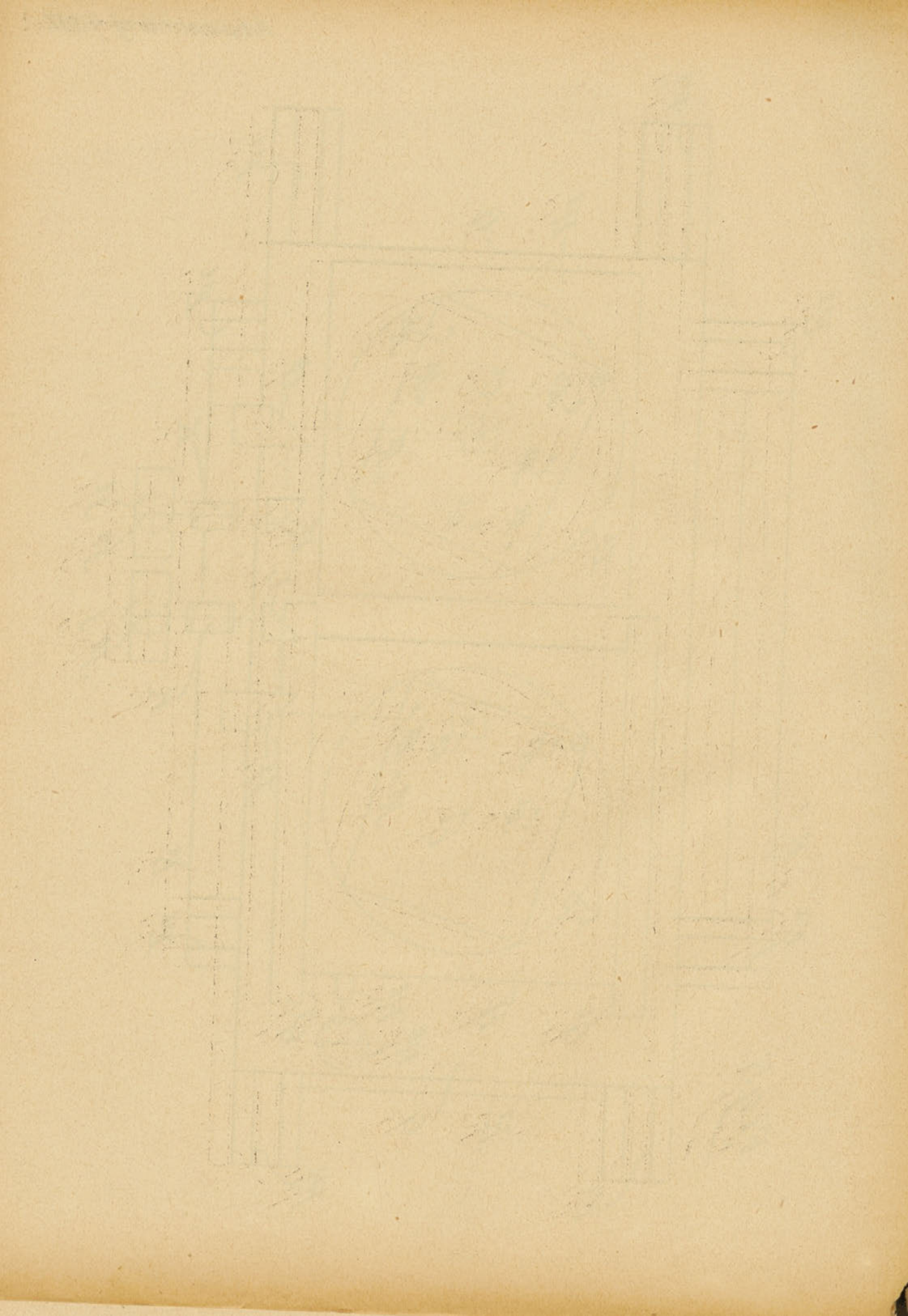
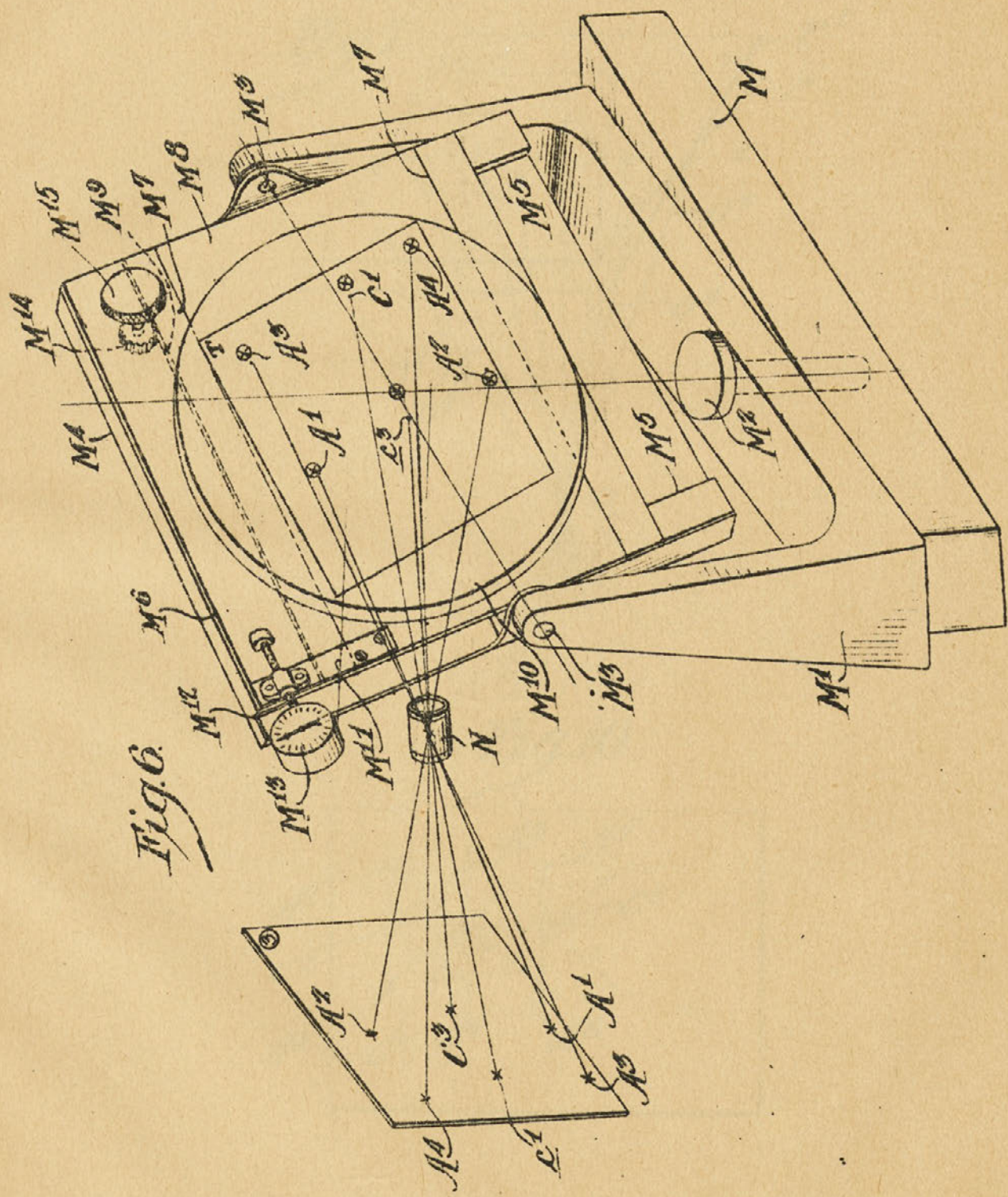




Fig. 5.









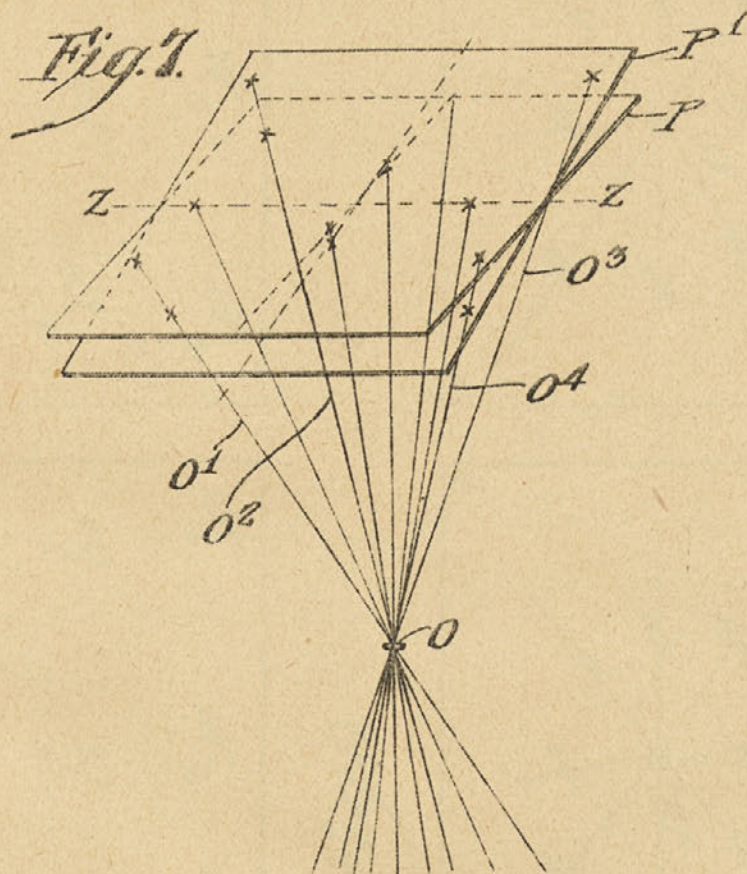


Fig. 10.

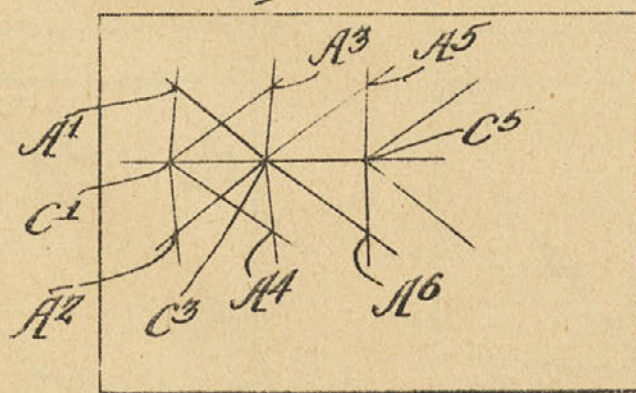




Fig. 8

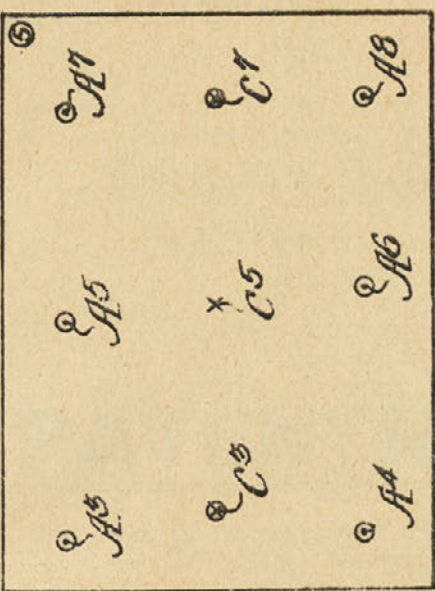
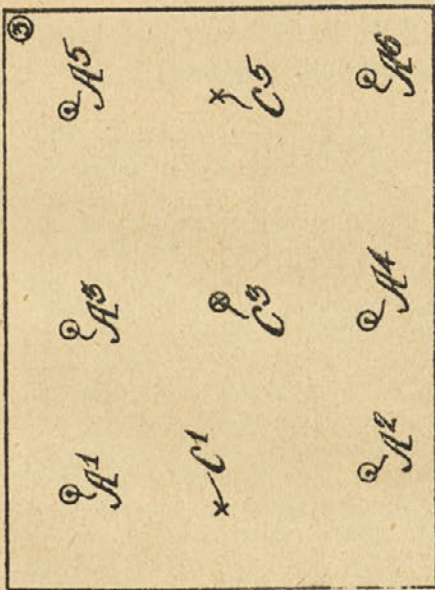


Fig. 9.

